## — МЕХАНИКА МАШИН ——

УЛК 533.6:534.1

## МАТЕМАТИЧЕСКОЕ МОДЕЛИРОВАНИЕ АЭРОУПРУГОГО ОТКЛИКА ДИСКА, ИМЕЮЩЕГО НЕЛИНЕЙНО-УПРУГИЙ ПОДВЕС И ВЗАИМОДЕЙСТВУЮЩЕГО СО СЛОЕМ ВЯЗКОГО ГАЗА

© 2024 г. В.С. Попов<sup>1, 2, \*</sup>, А.А. Попова<sup>1</sup>

<sup>1</sup>Саратовский государственный технический университет им. Гагарина Ю.А., Саратов, Россия

<sup>2</sup>Институт проблем точной механики и управления — обособленное структурное подразделение Федерального государственного бюджетного учреждения науки Федерального исследовательского центра "Саратовский научный центр Российской академии наук", Саратов, Россия

\*e-mail: vic p@bk.ru

Поступила в редакцию 11.08.2023 г. После доработки 25.032024 г. Принята к публикации 19.04.2024 г.

В статье предложена математическая модель нелинейных аэроупругих колебаний диска, имеющего подвес с жесткой кубической нелинейностью и взаимодействующего со слоем вязкого газа, пульсирующего за счет заданного возмущения на его контуре. Проведен асимптотический анализ, позволивший свести исходную модель к обобщенному уравнению Дуффинга, на базе решения которого методом гармонического баланса найден основной аэроупругий отклик диска и его фазовый сдвиг. Характеристики, в частных случаях, обеспечивают переход к несжимаемой вязкой жидкости и линейно-упругому подвесу, а их численное исследование позволило установить, что сжимаемость газа приводит к возрастанию значений резонансных частот и увеличению амплитуд колебаний диска. Расчеты показали возможность подавления неустойчивых колебаний диска вблизи резонансных частот путем изменения толщины слоя газа. Полученные результаты можно использовать для изучения динамики газовых и жидкостных демпферов и опор, а также чувствительных упругоподатливых элементов датчиков давления.

*Ключевые слова*: Моделирование, жесткий диск, нелинейно-упругий подвес, кубическая нелинейность, вязкий газ, нелинейные колебания, аэроупругий отклик

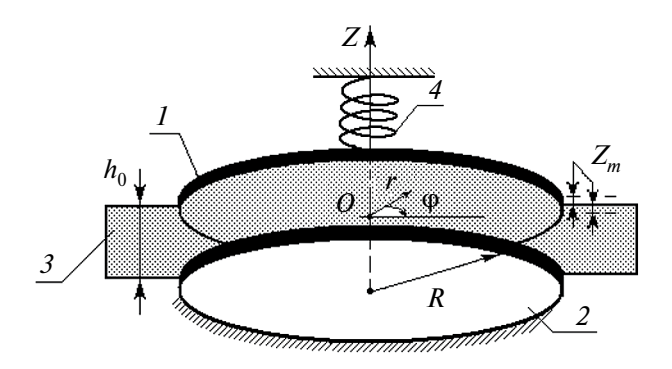
**DOI:** 10.31857/S0235711924040011, **EDN:** OZTMKV

Разработка и исследование изделий современного машиностроения, во многих вопросах, тесно связаны с фундаментальными проблемами создания математических моделей, максимально приближенных к оригиналу. В частности, модели взаимодействия элементов конструкций со слоем жидкости или газа необходимы при разработке и исследовании газо- и гидроопор [1], чувствительных элементов датчиков давления, газо- и гидродемпфирования колебаний в приборах [2]. Например, в [3] разработана плоская модель упорного подшипника с абсолютно жесткими направляющей и ползуном, имеющим адаптированный профиль, при рассмотрении поддерживающего смазочного слоя как вязкой несжимаемой жидкости с учетом

зависимости ее вязкости от давления и температуры. Упрощенный подход для оценки упругой деформации поверхности бесконечно протяженного подшипника под действием давления в смазочном слое газа предложен в [4]. Его суть состоит в рассмотрении кольцевой пленки смазочного слоя «развернутой» на плоскость, т.е. переходу к плоской задаче, и добавлении к толщине слоя линейного члена пропорционального давлению газа с коэффициентом пропорциональности, связанным с модулем упругости деформируемой поверхности подшипника. Строгий подход требует постановки и решения связанных задач гидро- и аэроупругости [5, 6]. Приведем краткий обзор таких исследований. В [7] исследовано взаимодействие штампа на линейно-упругом подвесе, являющимся частью дна бесконечно длинного канала, со слоем идеальной несжимаемой жидкости со свободной поверхностью, находящейся в нем. Установлено, что вблизи штампа в жидкости возникают, наряду с бегущими, стоячие волны, и показана возможность сведения амплитуд последних к нулю варьированием частоты вибраций штампа. В [8] рассмотрено взаимодействие идеальной жидкости, находящейся в абсолютно жесткой трубе с чувствительным элементом датчика давления, установленного на ее торце. Получено и численно исследовано интегро-дифференциальное уравнение динамики чувствительного элемента датчика, связывающее его деформацию с давлением и температурой среды на входе в трубопровод. Собственные колебания и устойчивость прямоугольной пластины, взаимодействующей со слоем идеальной сжимаемой жидкости численно изучены в [9] методом конечных элементов. Оценено влияния толщины слоя на собственные частоты колебаний пластины и критические скорости, при которых происходит потеря устойчивости. Установившиеся колебания стенок бесконечно длинного канала, образованного двумя параллельными пластинами, опирающимися на упругое основание Винклера, и взаимодействующими с пульсирующим слоем вязкой жидкости между ними, исследованы в [10]. Аналогичная задача для более общего случая канала конечной длины ранее решена в [11]. Численное моделирование взаимодействия сжимаемого газа, при учете и без учета его вязкости, с абсолютно жестким диском на линейно-упругом подвесе, проведено в [12, 13], в рамках исследования процесса срабатывания предохранительного клапана. Модель взаимодействия слоя вязкой несжимаемой жидкости, находящейся в узком канале с параллельными стенками, с его торцевой стенкой на нелинейно-упругом подвесе предложена в [14]. Рассмотрено применение модели для исследования гидроупругой реакции демпфера сильфонного типа. Модель плоского газового демпфера в рамках взаимодействия вязкого газа, заполняющего зазор между двумя параллельными жесткими стенками, и жесткой пластины, находящейся внутри зазора и перемещающейся с постоянной скоростью в направлении нормали к его стенкам, предложена в [15].

Однако в приведенных выше работах не рассмотрены аэроупругие колебания диска на нелинейно-упругом подвесе при его взаимодействии с пульсирующим слоем вязкого газа. Поэтому предлагаемое исследование нацелено на постановку и решение такой задачи.

Постановка задачи аэроупругости: основные положения и допущения. Рассмотрим узкий канал с параллельными стенками, схематично представленный на рис. 1. Стенки канала образованы двумя абсолютно жесткими дисками одинаковых радиусов R, оси симметрии которых совпадают с осью симметрии канала. Нижний диск закреплен и считается неподвижным. Верхний диск имеет нелинейно-упругий подвес, позволяющий ему совершать колебания в вертикальном направлении. Подвес будем рассматривать как нелинейно-упрочняющуюся пружину, восстанавливающая сила которой имеет линейную и нелинейную составляющие. Первая пропорциональна перемещению диска, а вторая — пропорциональна кубу его перемещения, т.е. рассмотрим случай жесткой кубической нелинейности подвеса [16, 17]. Канал заполнен вязким газом, а на контуре примыкает к торцевой полости, заполненной тем



**Рис. 1.** Схема узкого канала, образованного двумя параллельными соосными дисками: I — верхний абсолютно жесткий диск, имеющий подвес 4 с жесткой кубической нелинейностью; 2 — нижний абсолютно жесткий неподвижный диск; 3 — вязкий газ, находящийся в канале и торцевой полости.

же газом. Полагаем, что в невозмущенном состоянии в газе, находящемся в канале и торцевой полости, постоянное давление  $p_0$ , которое принимаем за начало отсчета давления. В невозмущенном состоянии расстояние между дисками  $h_0$  и, в силу узости канала,  $h_0 << R$ . В торцевой полости, т.е. в торцевом сечении канала, возбуждается пульсация давления  $p_1$  по гармоническому закону, накладываемая на постоянный уровень давления  $p_0$ . За счет этой пульсации верхний диск совершает нелинейные колебания с амплитудой  $z_m << h_0$ . Действием силы тяжести, вследствие малой плотности газа, пренебрегаем. Введем в рассмотрение цилиндрическую систему координат r0r0, ось r2 которой совпадает с осью симметрии дисков, а ее центр находится в геометрическом центре канала. В силу осевой симметрии канала рассмотрим осесимметричную постановку. Далее исследуем установившиеся нелинейные колебания [16, 17] диска, взаимодействующего со слоем вязкого газа, полагая, аналогично гидродинамической теории смазки, что состояние газа и стенок канала изотермическое [1, 18]. Такое допущение позволяет принять динамическую вязкость газа постоянной, а закон изменения его плотности считать баротропным.

Гармонический закон пульсации давления газа на торце по контуру канала (в торцевой полости) считаем заданным в виде

$$p_1 = p_m \sin \omega t \,, \tag{1}$$

где  $p_m$  — амплитуда пульсации давления;  $\omega$  — заданная частота пульсации; t — время. Уравнение движения верхнего диска как массы на нелинейной пружине запишем как

$$m\frac{d^2z}{dt^2} + F_r = F_d, (2)$$

где z — закон движения диска; m — масса диска;  $F_r$  — восстанавливающая сила нелинейно-упругого подвеса;  $F_d$  — возмущающая сила, действующая со стороны пульсирующего вязкого газа в канале.

Принимая во внимание ангармоничность колебаний верхнего диска представим закон его движения в виде  $z = z_m f(\theta t)$ . Здесь  $\theta = 1/T$  — характерная частота нелинейных колебаний верхнего диска, а T — характерный период его нелинейных колебаний.

Восстанавливающая сила нелинейно-упругого подвеса как пружины с жесткой кубической нелинейностью запишем, согласно [17], как

$$F_r = n_1 z + n_3 z^3 \,, \tag{3}$$

где  $n_1$  — линейный коэффициент жесткости подвеса;  $n_3$  — коэффициент жесткости кубической составляющей восстанавливающей силы подвеса. Так как подвес нелинейно-упрочняющийся, то восстанавливающая сила нелинейно возрастает с ростом перемещений диска, т.е. имеет место жесткая нелинейность и полагается, что  $n_3 > 0$  [16, 17].

Возмущающая сила  $F_d$  определяется нормальным напряжением  $q_{zz}$  вязкого газа на границе его контакта с поверхностью диска. В общем виде данное напряжение можно представить как [18]

$$q_{zz} = -p + 2\mu \frac{\partial V_z}{\partial z} - \left(\frac{2}{3}\mu - \mu'\right) \left(\frac{1}{r} \frac{\partial (rV_r)}{\partial r} + \frac{\partial V_z}{\partial z}\right) \text{при } z = \frac{h_0}{2} + z_m f , \qquad (4)$$

где p — давление газа (направлено внутрь объема газа);  $\mu$  — коэффициент динамической вязкости газа,  $\mu'$  — вторая или объемная вязкость;  $V_z$  — проекция скорости газа на ось z;  $V_r$  — проекция скорости газа на ось r.

Принимая во внимание сказанное выше, запишем выражение для  $F_d$  в виде

$$F_{d} = -\int_{0}^{2\pi} \int_{0}^{R} q_{zz} \Big|_{z=\frac{h_{0}}{2} + z_{m}f} r dr d\theta = -2\pi \int_{0}^{R} q_{zz} \Big|_{z=\frac{h_{0}}{2} + z_{m}f} r dr.$$
 (5)

Совместно с уравнением движения диска (2) необходимо рассматривать уравнения движения вязкого газа в узком канале. Учтем, что в предлагаемой постановке движение газа можно принять как ползущее [1, 18]. Тогда уравнения его движения представляют собой уравнения Навье—Стокса для сжимаемой жидкости, локальное и конвективное ускорения из которых исключены

$$\frac{\partial p}{\partial r} = \mu \left( \frac{1}{r} \frac{\partial}{\partial r} \left( r \frac{\partial V_r}{\partial r} \right) + \frac{\partial^2 V_r}{\partial z^2} - \frac{V_r}{r^2} \right) + \left( \mu' + \frac{1}{3} \mu \right) \frac{\partial}{\partial r} \left( \frac{1}{r} \frac{\partial}{\partial r} (r V_r) + \frac{\partial V_z}{\partial z} \right), \tag{6}$$

$$\frac{\partial p}{\partial z} = \mu \left( \frac{1}{r} \frac{\partial}{\partial r} \left( r \frac{\partial V_z}{\partial r} \right) + \frac{\partial^2 V_z}{\partial z^2} \right) + \left( \mu' + \frac{1}{3} \mu \right) \frac{\partial}{\partial z} \left( \frac{1}{r} \frac{\partial}{\partial r} (r V_r) + \frac{\partial V_z}{\partial z} \right).$$

Уравнения (6) замыкаем уравнением неразрывности для сжимаемой среды

$$\frac{\partial \rho}{\partial t} + \frac{1}{r} \frac{\partial}{\partial r} (r \rho V_r) + \frac{\partial}{\partial z} (\rho V_z) = 0 , \qquad (7)$$

и баротропным законом изменения плотности вязкого газа

$$\frac{p}{\rho} = c^2. \tag{8}$$

Здесь  $\rho$  — плотность газа; c — изотермическая скорость звука в газе (при нормальных условиях).

Уравнения (6)—(8) дополним условиями на границах контакта вязкого газа со стенками канала. В качестве условий выбираем условия прилипания вязкого газа к стенкам канала [18]

$$V_r = 0$$
,  $V_z = \frac{dz}{dt}$  при  $z = \frac{h_0}{2} + z_m f(\theta t)$ ,  $V_r = 0$ ,  $V_z = 0$  при  $z = -\frac{h_0}{2}$ . (9)

Кроме того, запишем условия для давления на торце канала и на оси симметрии. Эти условия представляют собой условие совпадения давления в торцевом сечении канала с давлением в торцевой полости и условие ограниченности давления на оси симметрии, которые запишем в виде

$$p=p_1(\omega t)$$
 при  $r=R$  ,  $r\frac{\partial p}{\partial r}=0$  при  $r=0$  . (10)

Здесь учтено, что за начало отсчета давления в канале и торцевой полости принят его постоянный уровень  $p_0$ , соответствующий невозмущенному состоянию. Кроме того, будем иметь в виду, что согласно [18] при изотермическом процессе, а также для случаев одноатомных газов, объемная вязкость  $\mu'$  может быть положена равной нулю. Поэтому далее считаем в (4), (6)  $\mu' = 0$ .

**Асимптотический анализ сформулированной задачи аэроупругости.** Для изучения аэроупругих колебаний диска — стенки канала перейдем к рассмотрению безразмерной задачи введя следующие характерные для нее малые параметры и безразмерные переменные

$$\psi = \frac{h_0}{R} \ll 1, \ \lambda = \frac{z_m}{h_0} \ll 1, \ \tau = \theta t, \ \xi = \frac{r}{R}, \ \varsigma = \frac{z + h_0/2}{h_0}, \ V_z = z_m \theta U_{\varsigma},$$

$$V_r = \frac{z_m \theta}{\Psi} U_{\xi}, \ p = P \frac{\mu z_m \theta}{h_0 \Psi^2}.$$
(11)

Плотность газа представляем как  $\rho = \rho_0 + \rho^*$ , где  $\rho_0$  — плотность газа в невозмущенном состоянии,  $\rho^*$  — плотность газа в возмущенном состоянии, изменяющаяся по баротропному закону  $p/\rho = c^2$  (здесь и далее в уравнениях верхний индекс \*, обозначающий возмущенное состояние газа, будем опускать и учитывать, что  $p_1(\omega t) = \mu z_m \theta (\delta \psi^2)^{-1} P_1(\tau \omega / \theta)$ . Тогда, подставляя (11) в (6)—(10), получим следующие безразмерные уравнения динамики вязкого газа в узком канале

$$\frac{\partial P}{\partial \xi} = \frac{\partial^2 U_{\xi}}{\partial \xi^2} + \psi^2 \left( \frac{4}{3} \frac{\partial^2 U_{\xi}}{\partial \xi^2} + \frac{4}{3} \frac{1}{\xi} \frac{\partial U_{\xi}}{\partial \xi} - \frac{4}{3} \frac{U_{\xi}}{\xi^2} + \frac{1}{3} \frac{\partial^2 U_{\zeta}}{\partial \xi \partial \zeta} \right), \tag{12}$$

$$\frac{\partial P}{\partial \zeta} = \psi^2 \left[ \psi^2 \left( \frac{\partial^2 U_{\zeta}}{\partial \xi^2} + \frac{1}{\xi} \frac{\partial U_{\zeta}}{\partial \xi} \right) + \frac{1}{3} \left( \frac{\partial^2 U_{\xi}}{\partial \xi \partial \zeta} + \frac{1}{\xi} \frac{\partial U_{\xi}}{\partial \zeta} \right) + \frac{4}{3} \frac{\partial^2 U_{\zeta}}{\partial \zeta^2} \right],$$

$$\frac{\theta^2 \ell^2}{2} \frac{\partial P}{\partial \tau} + \lambda \frac{\theta^2 \ell^2}{2} \left( U_{\xi} \frac{\partial P}{\partial \xi} + U_{\zeta} \frac{\partial P}{\partial \zeta} \right) + \left( \frac{\delta^2 \theta}{\mu / \rho_0} + \lambda \frac{\theta^2 \ell^2}{2} P \right) \left( \frac{\partial U_{\xi}}{\partial \xi} + \frac{1}{\xi} U_{\xi} + \frac{\partial U_{\zeta}}{\partial \zeta} \right) = 0,$$

и дополняющие их граничные условия

$$U_{\xi} = 0, \ U_{\zeta} = \frac{df(\tau)}{d\tau}$$
 при  $\zeta = 1 + \lambda f(\tau), \ U_{\xi} = 0, \ U_{\zeta} = 0$  при  $\zeta = 0,$  (13)  $P = P_{1}(\tau\omega / \theta)$  при  $\xi = 1, \ \xi \frac{\partial P}{\partial \xi} = 0$  при  $\xi = 0.$ 

Как принято в гидродинамической теории смазки [18], перейдем к рассмотрению тонкого слоя газа, исключая из рассмотрения в (12) члены порядка  $\psi^2$ . Затем, применим к упрощенным уравнениям тонкого слоя и граничным условиям (13) метод возмущений [19], рассматривая асимптотические разложения по малому параметру  $\lambda$  искомых гидродинамических параметров. Ограничиваясь первым членом разложения, в результате получим безразмерную задачу гидромеханики для тонкого слоя вязкого газа:

$$\frac{\partial P}{\partial \xi} = \frac{\partial^2 U_{\xi}}{\partial \zeta^2} , \frac{\partial P}{\partial \zeta} = 0 , \frac{\theta^2 \ell^2}{c^2} \frac{\mu/\rho_0}{\mu_0^2 \theta} \frac{\partial P}{\partial \tau} + \frac{\partial U_{\xi}}{\partial \xi} + \frac{1}{\xi} U_{\xi} + \frac{\partial U_{\zeta}}{\partial \zeta} = 0 , \tag{14}$$

с граничными условиями

$$U_{\xi} = 0$$
,  $U_{\zeta} = \frac{df(\tau)}{d\tau}$  при  $\zeta = 1$ ,  $U_{\xi} = 0$ ,  $U_{\zeta} = 0$  при  $\zeta = 0$ , (15) 
$$P = P_{1}(\tau \omega / \theta)$$
 при  $\xi = 1$ ,  $\xi \frac{\partial P}{\partial \xi} = 0$  при  $\xi = 0$ .

Подставляя (11) в нормальное напряжение (4) и исключая из него члены порядка  $\psi^2$ , а также учитывая, что согласно второго уравнения (14) P не зависит от  $\zeta$ , выражение для возмущающей силы (5), запишем в виде

$$F_d = 2\pi R^2 \frac{\mu z_m \theta}{h_0 \psi^2} \int_0^1 P \xi d\xi \,. \tag{16}$$

Используем метод итераций для решения (14) с граничными условиями (15). На первой итерации полагаем газ несжимаемым, т.е. считаем  $c^2 \to \infty$ , что позволяет исключить из рассмотрения первый член, учитывающий сжимаемость газа, в последнем уравнении (14). На второй итерации учитываем сжимаемость газа, т.е. принимаем во внимание исключенный член, подставляя в него давление, найденное на первом шаге итерации. Тогда на первой итерации находим

$$U_{\xi} = \frac{\zeta^2 - \zeta}{2} \frac{\partial P}{\partial \xi}, \ U_{\zeta} = \frac{3\zeta^2 - 2\zeta^3}{12} \left( \frac{1}{\xi} \frac{\partial P}{\partial \xi} + \frac{\partial^2 P}{\partial \xi^2} \right), \ P = P_1(\tau \omega / \theta) + 3(\xi^2 - 1) \frac{df(\tau)}{d\tau}. (17)$$

Выполняя вторую итерацию подставляем давление (17) в третье уравнение системы (14), а затем решая ее с условиями (15) нашли закон изменения давления в канале в виде

$$P = P_1 + 3(\xi^2 - 1)\frac{df}{d\tau} + 3(\xi^2 - 1)\frac{\theta^2 \ell^2}{c^2} \frac{\mu/\rho_0}{h_0^2 \theta} \frac{dP_1}{d\tau} + \frac{9}{14}(\xi^4 - 4\xi^2 + 3)\frac{\theta^2 \ell^2}{c^2} \frac{\mu/\rho_0}{h_0^2 \theta} \frac{d^2 f}{d\tau^2}.$$
 (18)

Осуществляя подстановку (18) в (16) и проводя интегрирование, а затем переходя к размерным переменным определяем возмущающую силу

$$F_d = \pi R^2 p_1 - \pi R^2 T_g \frac{dp_1}{dt} - K_g \frac{dz}{dt} + M_g \frac{d^2 z}{dt^2},$$
 (19)

где 
$$K_g = \frac{3\pi}{2} \frac{R^4 \mu}{{h_0}^3}$$
,  $T_g = \frac{3}{2} \frac{\mu R^2}{c^2 \rho_0 h_0^2}$ ,  $M_g = \frac{15\pi}{8} \frac{\mu^2 R^6}{c^2 \rho_0 h_0^5}$ .

С учетом (1), (3), (19) запишем уравнение движения диска (2) в виде

$$(m - M_g) \frac{d^2 z}{dt^2} + K_g \frac{dz}{dt} + n_1 z + n_3 z^3 = 2\pi R^2 \left( p_1 - T_g \frac{dp_1}{dt} \right) =$$

$$= \pi R^2 p_m A(\omega) \sin(\omega t - \gamma(\omega)).$$
(20)

Здесь  $A(\omega) = \sqrt{1 + (T_g \omega)^2}$ ,  $tg\gamma(\omega) = T_g \omega$ .

Уравнение (20) является обобщением уравнения осциллятора Дуффинга. Оно позволяет исследовать частные случаи: вязкой несжимаемой жидкости при  $c^2 \to \infty$  ( $M_g = 0$ ,  $T_g = 0$ ) и линейного упругого подвеса диска, если считать  $n_3 = 0$ . Заметим, что в правой части (20), в общем случае, две составляющих: первая определяется законом пульсации давления в торцевой полости, вторая — производной по времени от данного закона. Из (20) следует, что сжимаемость газа приводит к появлению дополнительного фазового сдвига  $\gamma$ , а также к уменьшению инерционных свойств колебательной системы по сравнению со случаем несжимаемой жидкости ( $T_g = 0$  и  $M_g = 0$ ). Вязкость газа и геометрические размеры канала определяют демпфирующие свойства колебательной системы (коэффициент  $K_g$ ).

Основной аэроупругий отклик диска и его фазовый сдвиг. Для решения (20) используем метод гармонического баланса [17, 20]. Примем во внимание, что при изучении колебаний механических систем главное внимание уделяется основным колебаниям на частоте вынуждающей силы [17]. Поэтому при проведении метода считаем частоту колебаний диска близкой к частоте пульсации давления в торцевой полости  $\theta \approx \omega$  и ищем решение в виде  $z = z_m \sin(\omega t - \gamma)$  (т.е., применяя метод, рассматриваем одночленное разложение в ряд Фурье на основной частоте). Правую часть (20) представляем как  $\pi R^2 p_m A(\omega) \sin(\omega t - \gamma + \phi)$ , учитывая фазовый сдвиг  $\phi$  за счет сил вязкого трения газа [17]. В результате получаем следующую алгебраическую систему:

$$\left[ n_1 + \frac{3}{4} n_3 z_m^2 - (m - M_g) \omega^2 \right] z_m = \pi R^2 p_m A(\omega) \cos \phi, \quad K_g \omega z_m = \pi R^2 p_m A(\omega) \sin \phi. \tag{21}$$

Разрешая (21), находим основной нелинейный аэроупругий отклик диска

$$z_{m} = \frac{\pi R^{2} p_{m} \sqrt{1 + (T_{g}\omega)^{2}} / (m - M_{g})}{\sqrt{(\omega_{*}^{2} - \omega^{2})^{2} + (K_{g}\omega / (m - M_{g}))^{2}}}$$
(22)

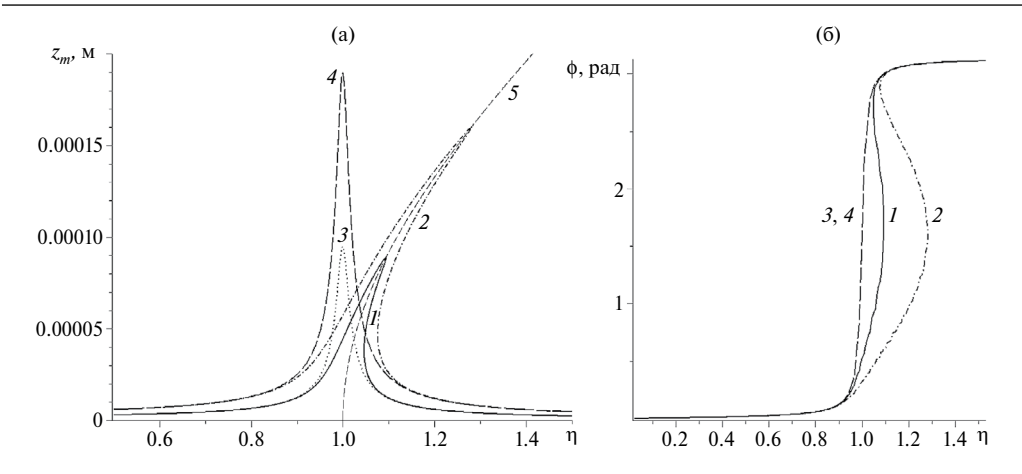
и его фазовый сдвиг

$$tg\phi = \frac{K_g \omega / (m - M_g)}{\omega_*^2 - \omega^2}.$$
 (23)

Здесь  $\omega_*^2 = (n_{\rm l} + (3/4)n_3z_m^2)/(m-M_g)$  — скелетная кривая, определяющая изменение собственной частоты консервативной нелинейной системы, соответствующей рассматриваемой нами при  $K_g=0$ , т.е. при исключении вязкости газа.

Заметим, при  $n_3 = 0$  скелетная характеристика совпадает с собственной частотой линейного консервативного осциллятора. Переходя к безразмерной частоте

$$\eta = \sqrt{\omega^2 (m - M_g)/n_l}$$
 запишем (22), (23) в виде



**Рис. 2.** Аэроупругий отклик (а) и фазовый сдвиг (б) диска при учете сжимаемости газа ( $h_0=5\cdot 10^{-4}$  м,  $\eta=1$  соответствует  $\omega=14235.35$  рад/с): I — нелинейно-упругий подвес диска  $p_m=10^4$  Па; 2 — нелинейно-упругий подвес диска  $p_m=2\cdot 10^4$  Па; 3 — линейно-упругий подвес диска  $p_m=10^4$  Па; 4 — линейно-упругий подвес диска  $p_m=2\cdot 10^4$  Па; 5 — скелетная кривая  $\eta^*$ .

$$z_m = \frac{\pi R^2 p_m \sqrt{1 + (T_g \eta)^2 n_1 / (m - M_g)} / n_1}{\sqrt{(\eta_*^2 - \eta^2)^2 + S^2 \eta^2}},$$
 (24)

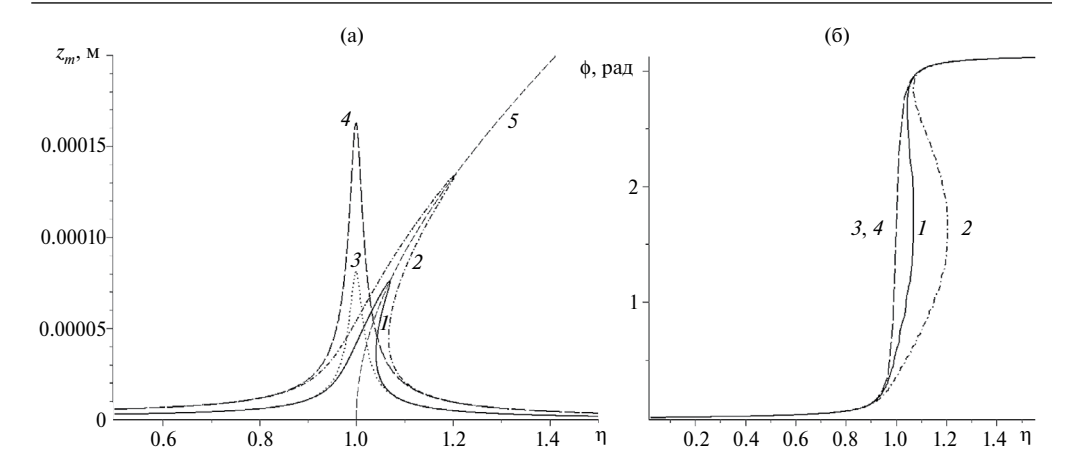
$$tg\phi = \frac{S\eta}{\eta_*^2 - \eta^2},\tag{25}$$

где  $\eta_*^2=1+(3/4)n_3z_m^2/n_1$  — безразмерная скелетная характеристика,  $S^2=K_g^2/((m-M_g)n_1)$  .

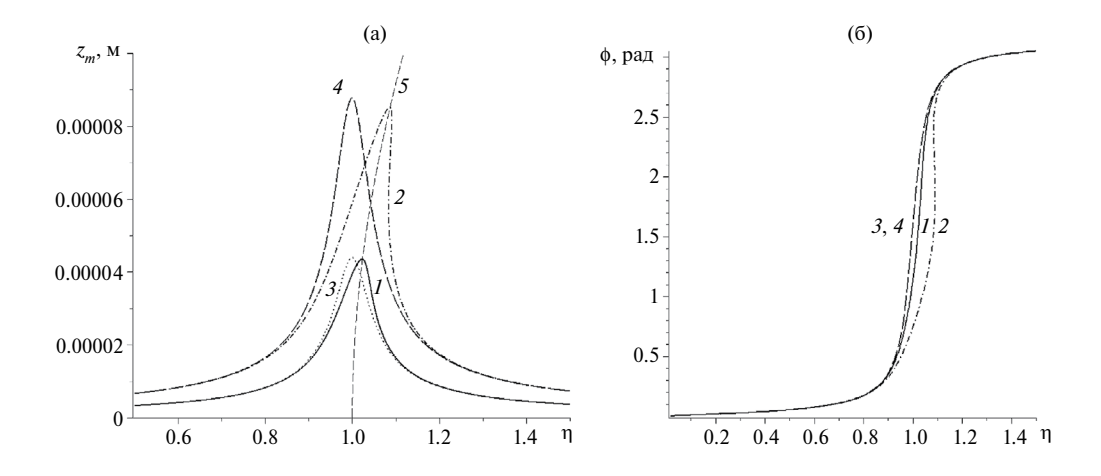
Найденные основной аэроупругий отклик и фазовый сдвиг (22)—(25) при  $n_3 \neq 0$  являются неявными функциями, однако, их исследование можно провести численно. Приведем пример такого исследования для следующих исходных данных: R=0.2 м,  $h_0=5\cdot 10^{-4}$  м,  $\rho_0=1.2$  кг/м³,  $\mu=18.1\cdot 10^{-6}$  кг/(м·с), c=290 м/с,  $n_1=6\cdot 10^8$  H/м,  $n_3=2\cdot 10^{16}$  H/м³, m=3 кг,  $p_m=10^4$  Па.

На рис. 2—4 представлены результаты расчетов нелинейного и линейного ( $n_3=0$ ) аэроупругих откликов диска и соответствующих им фазовых сдвигов по (24), (25) для амплитуд пульсации давления в торцевой полости  $p_m=10^4$  Па;  $p_m=2\cdot10^4$  Па. Графики на рис. 2 соответствуют случаю вязкого сжимаемого газа, а на рис. 3 — случаю вязкого несжимаемого газа (жидкости, т.е. при  $M_g=0$  и  $T_g=0$ ). На рис. 4 приведены графики для вязкого сжимаемого газа при уменьшенном зазоре между дисками  $h_0=3.5\cdot10^{-4}$  м.

Выводы и заключение. Проведенное исследование позволило установить, что изменение плотности газа в канале приводит к дополнительному фазовому сдвигу в заданном на торцах законе пульсации давления. Численное исследование нелинейного и линейного аэроупругого отклика диска и его фазового сдвига показало, что сжимаемость газа приводит, в сравнении с несжимаемый случаем, к возрастанию значений амплитуд колебаний диска и незначительному уменьшению инерционных свойств рассматриваемой колебательной системы, что проявляется в небольшом увеличении значений резонансных частот диска. Жесткая кубическая нелинейность подвеса ведет к изгибу характеристик вправо и росту значений резонансных частот с ростом



**Рис. 3.** Аэроупругий отклик (а) и фазовый сдвиг (б) диска без учета сжимаемости газа ( $h_0=5\cdot 10^{-4}$  м,  $\eta=1$  соответствует  $\omega=14142.13$  рад/с): I — нелинейно-упругий подвес диска  $p_m$   $10^4$   $\Pi$ a; 2 — нелинейно-упругий подвес диска  $p_m=2\cdot 10^4$   $\Pi$ a; 3 — линейно-упругий подвес диска  $p_m=10^4$   $\Pi$ a; 4 — линейно-упругий подвес диска  $p_m=2\cdot 10^4$   $\Pi$ a; 5 — скелетная кривая  $\eta^*$ .



**Рис. 4.** Аэроупругий отклик (а) и фазовый сдвиг (б) диска при учете сжимаемости газа ( $h_0=3.5\cdot10^{-4}$  м,  $\eta=1$  соответствует  $\omega=14725.56$  рад/с): I — нелинейно-упругий подвес диска  $p_m=10^4$  Па; 2 — нелинейно-упругий подвес диска  $p_m=2\cdot10^4$  Па; 3 — линейно-упругий подвес диска  $p_m=10^4$  Па; 4 — линейно-упругий подвес диска  $p_m=2\cdot10^4$  Па; 5 — скелетная кривая  $\eta^*$ .

амплитуд пульсации давления в торцевой полости в сравнении с линейным случаем. Изгиб кривых аэроупругого отклика, как известно [16, 17], может приводить к неустойчивым колебаниям диска со скачкообразным изменением амплитуд в частотном диапазоне данного изгиба. Расчеты, представленные на рис. 2, 3, показали возможность данных колебаний. С другой стороны, показано, что уменьшение зазора между дисками ведет к подавлению амплитуд колебаний и интенсивности изгиба характеристик (рис. 4), и, как следствие, к подавлению возможности неустойчивых колебаний. В случае линейно-упругого подвеса диска изгиба кривых аэроупругого отклика и фазового сдвига вправо нет, т.е. резонансная частота не завит от амплитуды пульсации давления в торцевой полости и отсутствует зона неустойчивых колебаний. При

этом кривые фазового сдвига для разных амплитуд пульсации давления совпадают (рис. 2-4, кривые фазового сдвига 3, 4).

Предложенная в статье модель нелинейных аэроупругих колебаний диска и полученные на ее основе аэроупругий отклик и фазовый сдвиг, а также результаты исследования данных характеристик можно использовать для изучения динамики газовых и жидкостных демпферов и опор с нелинейно- и линейно-упругими связями, а также для упругих чувствительных элементов датчиков давления, имеющих нелинейно-упругий подвес.

**Финансирование работы.** Исследование выполнено за счет гранта Российского научного фонда  $\mathbb{N}$  23-29-00159.

Конфликт интересов. Авторы заявляют, что у них нет конфликта интересов.

## СПИСОК ЛИТЕРАТУРЫ

- 1. Константинеску В. Н. Газовая смазка. М.: Машиностроение, 1968. 718 с.
- 2. Располов В.Я. Микромеханические приборы. М.: Машиностроение, 2007. 400 с.
- 3. *Хасьянова Д. У., Мукутадзе М.А.* Оптимизация опорной поверхности подшипника скольжения по параметру несущей способности с учетом зависимости вязкости смазочного материала от давления и температуры // Проблемы машиностроения и надежности машин. 2018. № 4. С. 66.
- Турчак Л. И., Шидловский В. П. Математическое моделирование проблем газовой смазки // Журнал вычислительной математики и математической физики. 2011. Т. 51. № 2. С. 329.
- 5. *Горшков А. Г., Морозов В. И., Пономарев А. Т., Шклярчук Ф. Н.* Аэрогидроупругость конструкций. М.: Физматлит, 2000. 592 с.
- Païdoussis M. P. Dynamics of cylindrical structures in axial flow: A review // Journal of Fluids and Structures, 2021. V. 107, 103374.
- 7. Indeitsev D.A., Osipova E. V. Nonlinear effects in trapped modes of standing waves on the surface of shallow water // Technical Physics. 2000. V. 45. № 12. P. 1513.
- 8. Velmisov P.A., Pokladova Y. V. Mathematical modelling of the "Pipeline—pressure sensor" system // J. Phys. Conf. Ser. 2019. V. 1353. 01208.
- 9. *Бочкарев С.А., Лекомцев С.В., Матвеенко В.П.* Гидроупругая устойчивость прямоугольной пластины, взаимодействующей со слоем текущей идеальной жидкости // Изв. РАН. МЖГ. 2016. № 6. С. 108.
- 10. *Tulchinsky A., Gat A. D.* Frequency response and resonance of a thin fluid film bounded by elastic sheets with application to mechanical filters // J. of Sound and Vibration. 2019. V. 438. P. 83.
- 11. *Могилевич Л. И.*, *Попов В. С.*, *Попова А. А*. Динамика взаимодействия пульсирующей вязкой жидкости со стенками щелевого канала, установленного на упругом основании // Проблемы машиностроения и надежности машин. 2017. № 1. С. 15.
- 12. *Королева М. Р., Мищенкова О. В., Редер Т., Тененев В. А., Чернова А. А.* Численное моделирование процесса срабатывания предохранительного клапана // Компьютерные исследования и моделирование. 2018. Т. 10. № 4. С. 495.
- 13. Raeder T., Mishchenkova O. V., Koroleva M. R., Tenenev V.A. Nonlinear processes in safety systems for substances with parameters close to a critical state // Russian Journal of Nonlinear Dynamics. 2021. V. 17. No. 1. P. 119.
- 14. Barulina M., Santo L., Popov V. Popova A., Kondratov D. Modeling nonlinear hydroelastic response for the endwall of the plane channel due to its upper-wall vibrations // Mathematics. 2022. V. 10. 3844.
- 15. *Шевцова Е. В.* Газовое демпфирование в микромеханических приборах // Вестник МГТУ им. Н. Э. Баумана. Сер. Приборостроение. 2006. № 2 (63). С. 100.
- 16. Nayfeh A. H., Mook D. T. Nonlinear oscillations New York: Wiley, 1979. 720 p.
- 17. Пановко Я. Г. Введение в теорию механических колебаний. М.: Наука, 1991. 256 с.
- 18. Лойцянский Л. Г. Механика жидкости и газа. М.: Дрофа, 2003. 840 с.
- 19. Van Dyke M. Perturbation Methods in Fluid Mechanics. Stanford: The Parabolic Press, 1975. 271 p.
- 20. Krack M., Gross J. Harmonic Balance for Nonlinear Vibration Problems. New York: Springer, 2019. 159 p.